

# Physique Numérique I semaine 4

## ☐ Infos

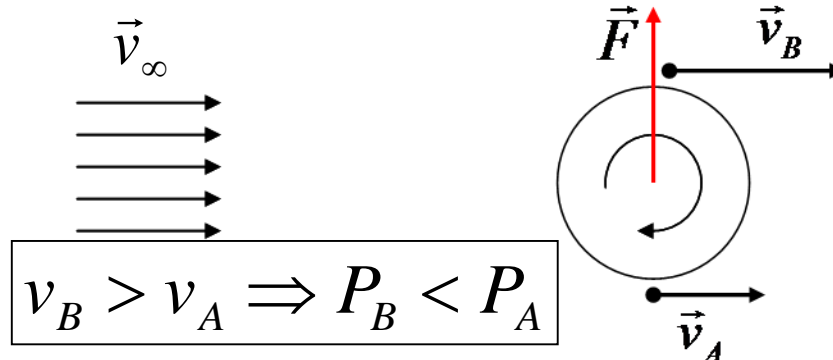
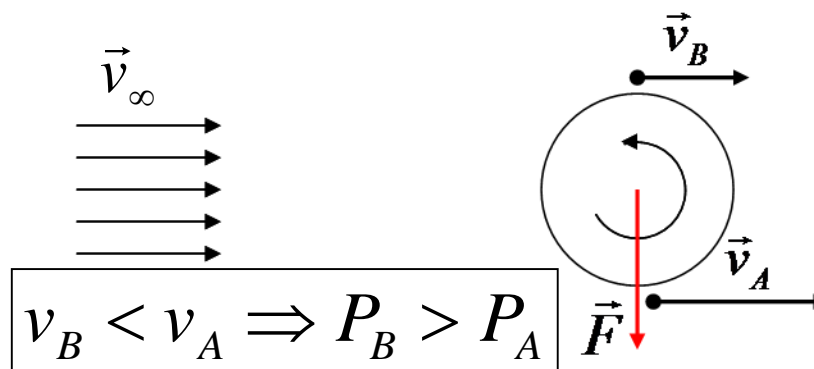
- Groupes d'étudiants par assistant et répartition dans les salles: voir liste sur Moodle
- Paires d'étudiants: dès l'Exercice 2, un rapport pour la paire, avec deux auteurs
  - participation de chacun des deux requise!

# Plan

- Notes de Cours: Section 2.2.3 et Section 2.3
- Exercice 2: particule dans champ électromagnétique.  
Plusieurs schémas numériques:
  - (1) Euler explicite
  - (2) Euler implicite:
  - (3) Euler semi-implicite,
  - (4) Runge-Kutta d'ordre 2 explicite:
  - Autres schémas numériques:
    - (4) Euler-Cromer (explicite, symplectique)
    - (5) Boris-Buneman (semi-implicite, conservatif, d'ordre 2)
- Analogie avec l'effet Magnus et avec l'oscillateur harmonique
- Expériences

# Force de portance, effet Magnus

## ■ Expériences



## ■ Eq. Bernouilli

$$\frac{1}{2} \rho v^2 + P = \text{const}$$

(le long d'une ligne de courant)

## ■ Formule semi-empirique

$$\vec{F}_p = \rho \mu R^3 \vec{v}_\infty \times \vec{\omega}$$

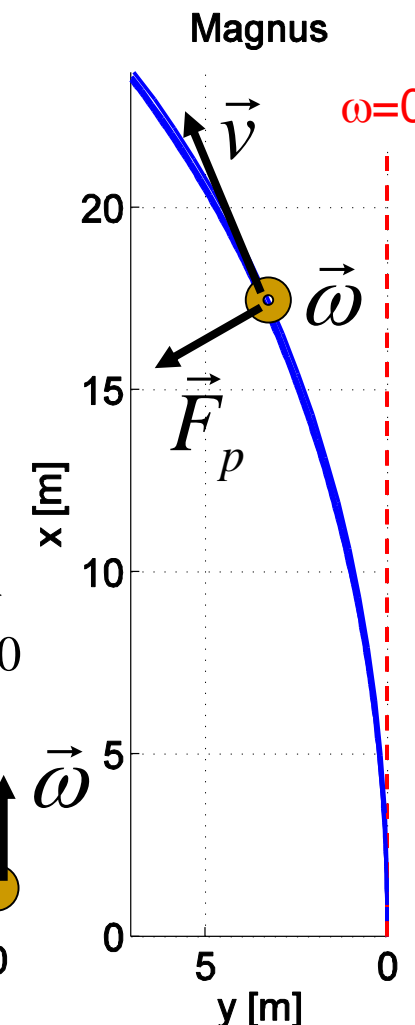
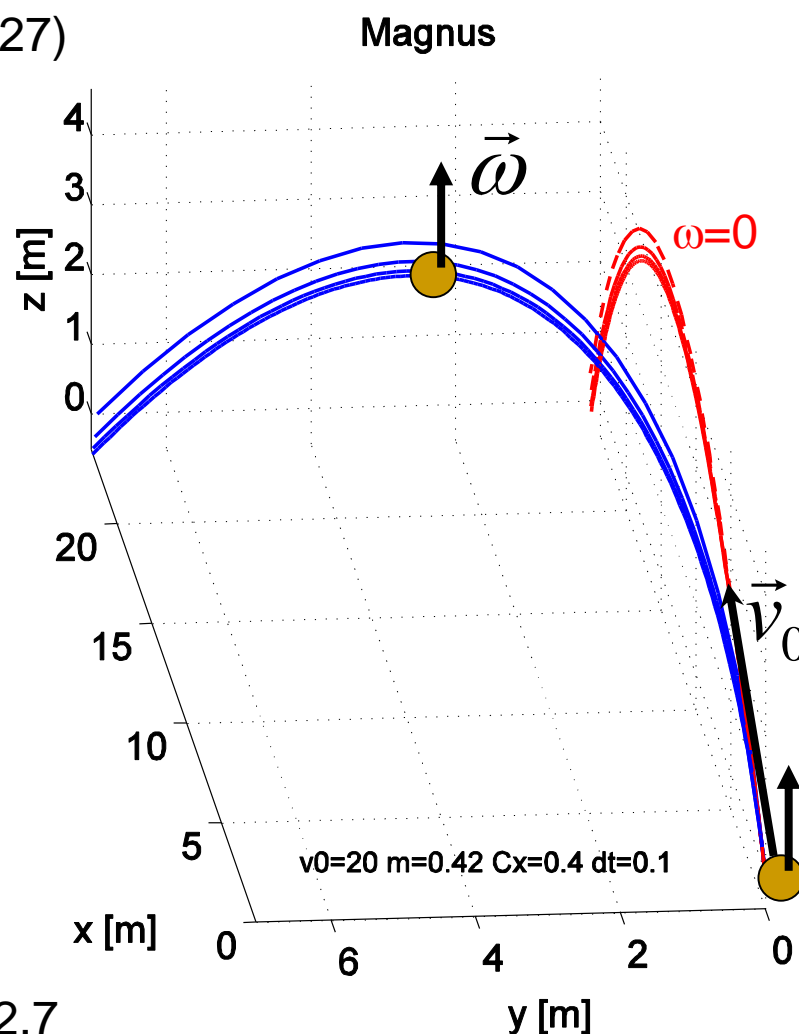
(dans le référentiel de l'obstacle)

$$\vec{F}_p = \rho \mu R^3 \vec{\omega} \times \vec{v}$$

(dans le référentiel du sol)

# Magnus tire un coup franc au football

Eq.(2.27)

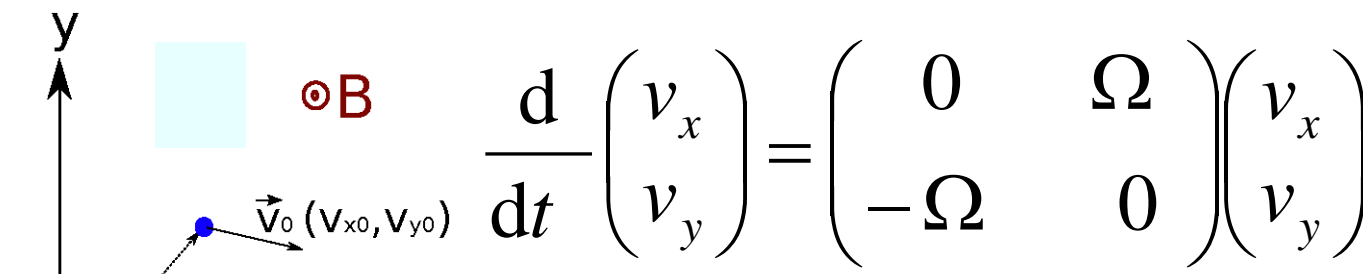


$R=0.11$   
 $m=0.42$   
 $C_x=0.4$   
 $v_0=20$   
 $\alpha=30^\circ$   
 $\rho=1.3$   
 $\mu=2\pi$   
 $\omega=4\pi$   
 $\gamma=0$   
 $\Delta t=0.1, 0.0125$

FIG. 2.7

# Oscillateur harmonique, particule dans champ B, effet Magnus: même structure mathématique

$$\frac{d}{dt} \begin{pmatrix} x \\ v \end{pmatrix} = \begin{pmatrix} 0 & 1 \\ -\omega_0^2 & 0 \end{pmatrix} \begin{pmatrix} x \\ v \end{pmatrix} \quad \omega_0 = \sqrt{\frac{k}{m}}$$



$$\frac{d}{dt} \begin{pmatrix} v_x \\ v_y \end{pmatrix} = \begin{pmatrix} 0 & \Omega \\ -\Omega & 0 \end{pmatrix} \begin{pmatrix} v_x \\ v_y \end{pmatrix}$$

■ Lorentz:  $\vec{F} = q\vec{v} \times \vec{B}$        $\Omega = \frac{qB}{m}$

■ Effet Magnus:  $\vec{F} = -\mu R^3 \rho \vec{v} \times \vec{\omega}$        $\Omega = -\frac{\mu R^3 \rho \omega}{m}$

# Euler implicite (2.3.5)

$$\frac{y_{n+1} - y_n}{\Delta t} = f(y_{n+1}, t_{n+1}) + O(\Delta t)$$

$$y_{n+1} = y_n + f(y_{n+1}, t_{n+1}) \Delta t + O(\Delta t)^2 \quad (*)$$

Résoudre cette équation (\*) par itérations («point fixe»)

$$k=0: \quad y_{n+1}^{(k=0)} = y_n$$

$$k \rightarrow k+1 \quad y_{n+1}^{(k+1)} = y_n + f(y_{n+1}^{(k)}, t_{n+1})$$


Arrêter les itérations lorsque l'erreur sur la résolution de (\*) est inférieure à une tolérance spécifiée, voir Notes de Cours Eq.(2.68)

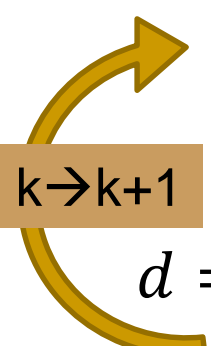
# Euler semi-implicite

$$\frac{y_{n+1} - y_n}{\Delta t} = \alpha f(y_n, t_\alpha) + (1 - \alpha)f(y_{n+1}, t_\alpha)$$

$$y_{n+1} = y_n + [\alpha f(y_n, t_\alpha) + (1 - \alpha)f(y_{n+1}, t_\alpha)] \Delta t$$

Résoudre cette équation par itérations («point fixe»)

k=0:  $y_{n+1}^{(k=0)} = y_n$



$$y_{n+1}^{(k+1)} = y_n + [\alpha f(y_n, t_\alpha) + (1 - \alpha)f(y_{n+1}^{(k)}, t_\alpha)] \Delta t$$

**k → k+1**

$$d = |y_{n+1}^{(k+1)} - y_n - [\alpha f(y_n, t_\alpha) + (1 - \alpha)f(y_{n+1}^{(k+1)}, t_\alpha)] \Delta t|$$

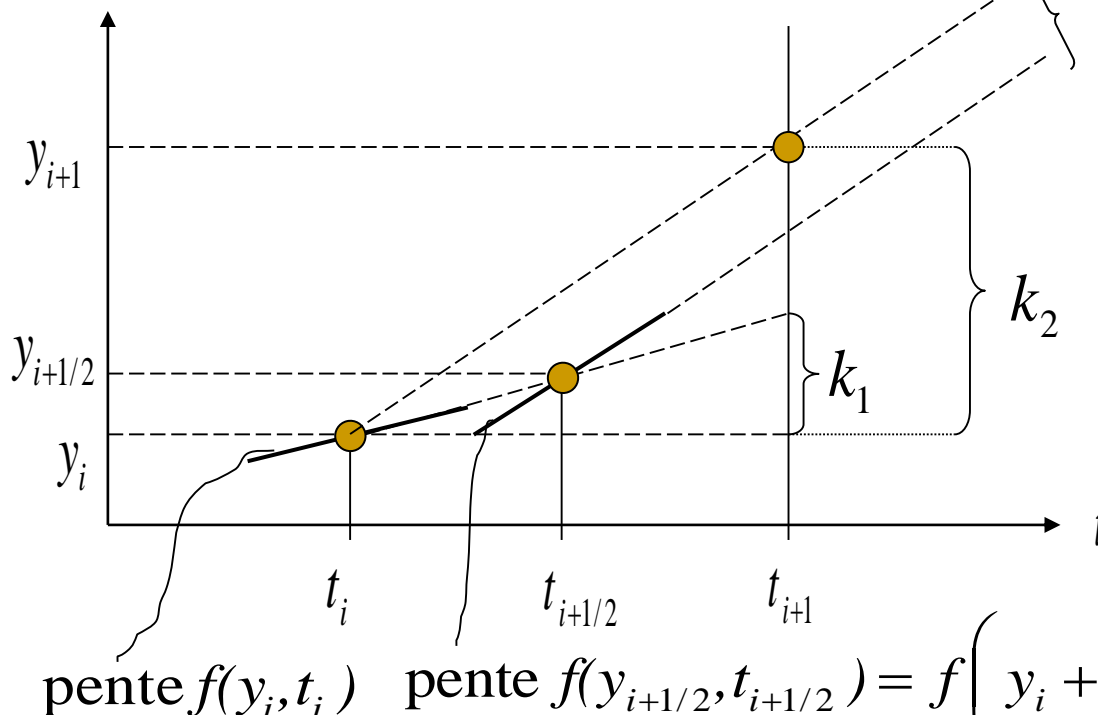
Arrêter les itérations lorsque l'erreur  $d$  est inférieure à une tolérance spécifiée  $\varepsilon$

# Runge-Kutta d'ordre 2 (2.3.7)

$$\frac{dy}{dt} = f(y, t)$$

$$y_{i+1} = y_i + \Delta t f\left(y_i + \frac{\Delta t}{2} f(y_i, t_i), t_{i+1/2}\right)$$

$$\begin{aligned} k_1 &= \Delta t f(y_i, t_i) \\ k_2 &= \Delta t f(y_i + 0.5k_1, t_i + 0.5\Delta t) \\ y_{i+1} &= y_i + k_2 \end{aligned}$$



Runge-Kutta ordre 2

Voir aussi les Notes de Cours, pp. 39-40, pour une généralisation

$$\text{pente } f(y_i, t_i) \quad \text{pente } f(y_{i+1/2}, t_{i+1/2}) = f\left(y_i + \frac{\Delta t}{2} f(y_i, t_i), t_{i+1/2}\right)$$

# Euler-Cromer («symplectique») (2.3.6)

- Pour la force de portance de Magnus, comme pour la force de Lorentz due au champ magnétique, l'accélération en  $x$  dépend de  $v_z$ , et l'accélération en  $z$  dépend de  $v_x$ .
- Le schéma d'Euler-Cromer, s'écrit, pour la particule dans un champ magnétique selon  $z$ .

$$v_{x,n+1} = v_{x,n} + \Omega v_{y,n}$$

$$v_{y,n+1} = v_{y,n} - \Omega v_{x,n+1}$$

Euler:  $v_{x,n}$ )

- Pour l'Ex.2, similaire (mais  $(x,z)$  au lieu de  $(x,y)$ , ... et attention aux signes!)

# Boris – Buneman (2.7.2)

- Cas d'une particule dans un champ magnétique

Semi-implicite

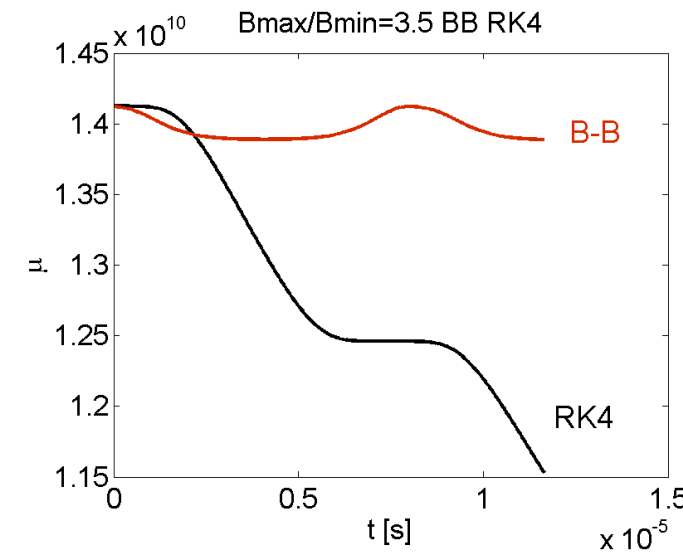
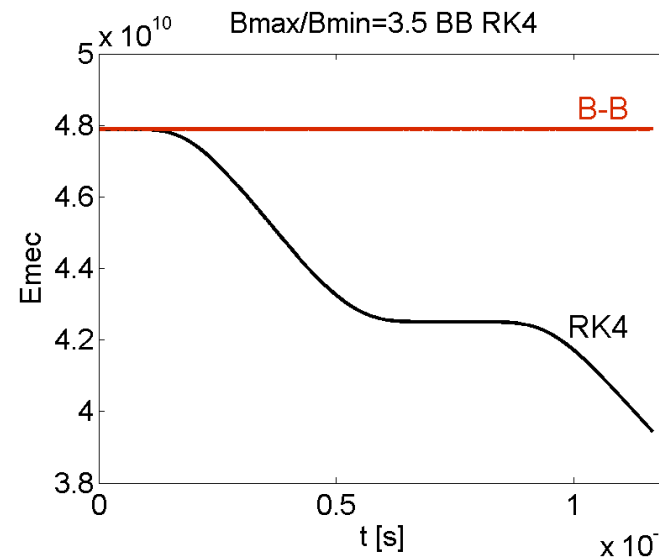
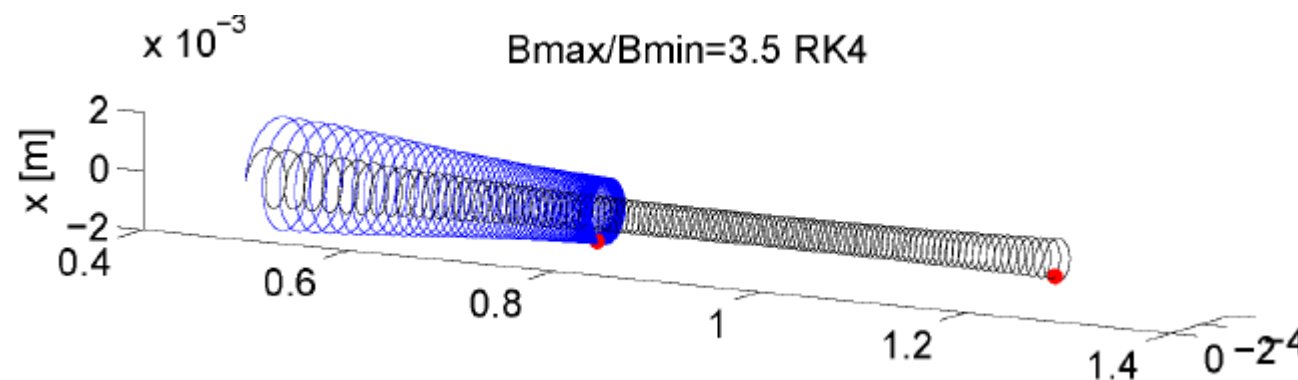
$$\frac{\vec{v}_+ - \vec{v}_-}{\Delta t} = \frac{q}{m} \left( \frac{\vec{v}_+ + \vec{v}_-}{2} \right) \times \vec{B}$$

Posons:  $\omega_c = qB/m$      $\vec{e}_{\parallel} = \vec{B}/B$

$$\vec{v}_+ = \vec{v}_- + \frac{\omega_c \Delta t}{1 + (\omega_c \Delta t / 2)^2} \left( \vec{v}_- \times \vec{e}_{\parallel} + \frac{\omega_c \Delta t}{2} (\vec{v}_- \times \vec{e}_{\parallel}) \times \vec{e}_{\parallel} \right)$$

- Conserve Emec exactement, quel que soit  $\Delta t$
- Ordre 2 en  $\Delta t$
- Pour l'effet Magnus (Ex.2 2019),  $\omega_c$  aura une autre expression

# Particule dans champ magnétique: Boris - Buneman



- B-B Conserve Emec exactement, (quel que soit  $\Delta t$  !)

# Exercice 2: indications

- On utilisera des ‘valarray’ dans le code C++, par exemple:
  - `valarray<double> x=valarray<double>(3); // position de la particule`
  - `valarray<double> v=valarray<double>(3); // vitesse de la particule`
- On peut additionner des valarrays et les multiplier par un scalaire, p.ex.:
  - `x += v * dt; // mise à jour de la position`
- On a déjà défini dans le squelette de code C++ des fonctions pour le produit scalaire de deux vecteurs:
  - `produitInterne(valarray1,valarray2)`
- Et la norme d'un vecteur:
  - `norm2(valarray)`
- On donne un script ParameterScan.m qui lance une série de simulations avec plusieurs valeurs d'un paramètre d'entrée, (nsteps, pour faire une étude de convergence)
- Des fonctions Python sont également données